

Geochemistry and zeolitization of tuffs in Zarrin Dasht mining area (Firuzkuh, Central Alborz)

Zahra Mehrpooya*, **Faramarz Tutti**, **Kazem Kazemi** and **Mohammad Ali Barghi**

School of Geology, Faculty of science, University of Tehran, Tehran, Iran

Abstract

The Zarrin Dasht region is located in Tehran province, between Damavand and Firuzkuh cities. This region with 10 Km² area belongs to Central-Alborz zone. On the base of petrographic and geochemical studies, the volcaniclastic rocks of the Zarrin Dasht area are trachyte, dacite, rhyodacite and rhyolite. Petrographic evidence as well as XRD analyses point to the presence of glass and crystallization quartz, clinoptilolite, analcime, natrolite, heulandite, montmorillonite, kaolinite, illite and chlorite. Texture of tuffs is vitrophyric. Based on the geochemical data, these rocks are calk-alkaline and metaluminous to peraluminous composition. Primitive mantle-normalized and chondrite-normalized trace elements and rare earth elements patterns indicate enrichment in LREE and LILE and depletion in HREE and HFSE with pronounced negative anomalies in Eu, Ba, Nb, Ti, Sr and P in the Zarrin Dasht samples. Samples position on the various tectonic setting discrimination diagrams demonstrate that these rocks were formed in environment related to subduction in active continental margins. Chlorites, are present in the rock context and also relatively filled cavities as amygdaloidal, while analcime was mainly distributed in the rock context. It seems these minerals are the result of recrystallization of volcanic glasses such as shard in the rock. Secondary minerals can be considered as a burial diagenesis and low-grade metamorphism in the studied tuffs that occurred under the upper floor pressure.

Key words: zeolite, geochemistry, burial diagenesis, tuffs of Karaj Formation, Zarrin Dasht, Central Alborz

* zahramehrpooya83@gmail.com

زمین‌شیمی و زئولیت‌زایی توف‌ها در محدوده معدنی زرین دشت (فیروزکوه، پهنه البرز مرکزی)

زهرا مهرپویا*، فرامرز طوطی، کاظم کاظمی و محمدعلی برقی
دانشکده زمین‌شناسی، پردیس علوم، دانشگاه تهران، تهران، ایران

چکیده

منطقه زرین دشت در استان تهران، در میان شهرستان‌های دماوند و فیروزکوه جای دارد. این منطقه با گسترش نزدیک به ۱۰ کیلومتر مربع، بخشی از پهنه ساختاری البرز مرکزی به‌شمار می‌رود. برپایه بررسی‌های سنگنگاری و زمین‌شیمیابی، سنگ‌های آذرآواری منطقه زرین دشت ترکیب تراکیت، داسیت، ریوداسیت و ریولیت دارند. بررسی‌های میکروسکوپی و تجزیه XRD نشان می‌دهند این سنگ‌ها دارای شیشه و بلورهای کوارتز، کلینوپیتولیت، آنالسیم، ناترولیت، هیولاندیت، مونت‌موریونیت، کائولینیت، ایلیت و کلریت هستند. بافت توف‌ها ویتروفیری است. برپایه داده‌های زمین‌شیمیابی، سنگ‌های یادشده سرنشت کالک‌آلکالن دارند و از نوع متا‌آلومین تا پرآلومین است. الگوی تغییرات عنصرهای کمیاب و کمیاب خاکی بهنجارشده به ترکیب کندریت و گوشته اولیه برای نمونه‌های منطقه زرین دشت نشان‌دهنده غنی‌شدنی این سنگ‌ها از LILE و HFSE در برابر HREE و آنومالی منفی Eu, Sr, Ti و P است. این پدیده و نیز جایگاه نمونه‌ها در نمودارهای گوناگون شناسایی پهنه زمین‌ساختی، نشان‌دهنده پیدایش سنگ‌های زرین دشت در پهنه فرورانش حاشیه فعال قاره‌ای هستند. کلریت‌ها افرون بر حضور در زمینه سنگ، کمابیش حفره‌ها (به‌صورت بادامکی) پر کرده‌اند؛ اما آنالسیم بیشتر در زمینه سنگ پراکنده بوده و گویا پیامد بازتابلو شیشه‌های آتشفسنایی، مانند شاردهای درون سنگ، هستند. این کانی‌های ثانویه پیامد دیاژنر تدفینی - دگرگونی درجه پایین در توف‌های زرین دشت دانسته می‌شوند که زیر فشار لایه‌های بالایی روی داده است.

واژه‌های کلیدی: زئولیت، زمین‌شیمی، دیاژنر تدفینی، توف‌های سازند کرج، زرین دشت، البرز مرکزی

کمرندهای کوه‌زایی است و موزاییکی از تکه‌های

مقدمه

کوچک و بزرگ قاره‌ای و نوارهای کوه‌زایی

کمرندهای چین خورده آلپ هیمالیا از مهم‌ترین

* zahra.mehrpooya83@gmail.com

Copyright©2018, University of Isfahan. This is an Open Access article distributed under the terms of the Creative Commons Attribution License (<http://creativecommons.org/licenses/BY-NC-ND/4.0>), which permits others to download this work and share it with others as long as they credit it, but they cannot change it in any way or use it commercially.

هستند. هر سه این پهنه‌ها در مژوزوییک پسین-سنوزوییک پیشین به‌ویژه ائوسن فعال بوده‌اند. بسیاری از پژوهشگران بر این باورند که فرایندهای آتشفشاری در این سه پهنه به فروزانش وابسته هستند (Berberian and King, 1981).

فعالیت ماقمایی در آغاز سنوزوییک، در سه پهنه البرز و ارومیه-دختر و خاور ایران بیشترین تمرکز را داشته است و از دیرباز بسیاری از زمین‌شناسان ایرانی و خارجی به آن پرداخته‌اند. سنتبرترین واحدهای آتشفشار زاد ایران به سن ائوسن هستند که به‌ویژه در کمان ماقمایی ارومیه-بزمان، کوههای خاور ایران، بلوک لوت، جنوب بینالود، بخش جنوبی البرز و شمال باختری آذربایجان رخنمون دارند. در سنگ‌های آتشفشاری ائوسن ایران، سنگ‌شناسی و جایگاه پیدایش (دریایی - قاره‌ای) بسیار گوناگون است. همچنین، ترکیب شیمیایی این سنگ‌های نیز تغییرات بسیاری، از اسیدی تا بازیک، دارد. در «البرز-آذربایجان»، فرایندهای آتشفشاری ائوسن، شامل مجموعه‌ای از سنگ‌های آذراواری و گدازهای دریایی هستند که بیشتر سن ائوسن میانی داشته و در چینه‌شناسی ایران «سازند کرج» نام دارند. این سازند که از دامغان تا کوههای تالش (البرز مرکزی و باختری) گسترش دارد نشان‌دهنده تکاپوهای ان劫اری شدید آتشفشارهای زیردریایی در زمان ائوسن است و گاه تا ۳۰۰۰ متر سمترا دارد (Aghanabati, 2004). برپاییه بررسی‌های گسترده‌ای که روی پهنه البرز و به‌ویژه سازند کرج انجام شده است، توفهای زرین‌دشت و چگونگی زئولیت‌زایی آن، در هاله‌ای از ابهام است. روی زئولیت‌های دماوند درباره کانی‌های رسی در توفهای بخشی از البرز مرکزی بررسی‌هایی انجام

گوناگون را به نمایش می‌گذارد. از دیرباز، بسیاری از زمین‌شناسان به بررسی پیدایش و تکامل ساختاری این کمربند پرداخته‌اند. از آنجایی که سرزمین ایران بخشی از این کمربند است، همواره دچار تحولات گوناگونی بوده است که هر یک به گونه‌ای در پیدایش طرح کنونی آن مؤثر بوده‌اند. شاید مهم‌ترین و فraigیرترین رویداد در پیدایش پوسته ایران زمین، فرایندهای ماقمایی سنوزوییک بوده باشد که در پی فاز کوهزایی آلپی روی داده‌اند. رویداد این کوهزایی رشته کوههای آلپ-هیمالیا را تحت تأثیر قرار داده است و کوههای ایران به شکل امروزی در آمده و همزمان و یا کمی پس از آن، بخش بزرگی از اندوخته‌های معدنی ایران پدید آمده‌اند. در البرز، در پی رخداد فاز کوهزایی لرامید، دامنه شمالی از دامنه جنوبی جدا شده است و به‌همین رو، نهشته‌های سنوزوییک بخش شمالی ایران در دو پهنه رسویی جداگانه انباشته شده‌اند. در بخش جنوبی البرز، پس از دوره‌های فرسایشی و انباشت آواره‌های پالتونسن (کنگلومرا فجن)، زمین با دریای کم‌زرفایی پوشیده و جایگاه خوبی برای تهنشست سنگ آهک‌های نومولیت دار ائوسن پیشین، (سازند زیارت) و توفیت‌های سبز ائوسن میانی (سازند کرج) شده است (Aghanabati, 2004). در ایران سه پهنه آتشفشاری اصلی شناخته شده است: یکی در شمال ایران با روند خاوری-باختری که پهنه البرز نامیده می‌شود و دیگری در جنوب‌باختری ایران با روند شمال‌باختری-جنوب‌خاوری که پهنه ارومیه-دختر نام دارد. همچنین، مجموعه‌های بزرگ سنگ‌های آتشفشاری ترشیری در خاور ایران (بلوک لوت و مرز زمین درز سیستان-بلوک لوت) چشمگیر

منطقه بخشی از پهنه البرز به شمار می‌رود (شکل ۱). محدوده زرین‌دشت در نقشه زمین‌شناسی ۱:۱۰۰۰۰۰ (Salamati, in press) جای دارد (شکل ۲). مهم‌ترین سازندهای این منطقه عبارتند از:

(الف) سازند فجن: کنگلومراخی آهکی به رنگ خاکستری-قرمز (PE^{scf}):

(ب) سازند: سنگ آهک و توف به رنگ خاکستری و زرد (E^Z):

(پ) سازند کرج: تناوب توف، توف شیلی و شیل به رنگ سیز تا خاکستری به صورت محلی با افق‌هایی از سنگ آهک و ژیپس (E_k^{tsh}):

(ج) سازند قم: سنگ آهک مارنی با چندین عدسی گچی (QM^{1m}_q):

افزون‌بر سازندهای یادشده در بالا، واحدهای دیگری نیز در منطقه هستند و واحدهای M₂ (ماسه‌سنگ-شیل و ماسه‌سنگ کنگلومراخی) و M₁ (مارن با میان‌لایه‌هایی از سنگ آهک و توف به رنگ خاکستری روشن) از مهم‌ترین آنها هستند. کنگلومرا و ماسه‌سنگ درشت دانه با جورشدگی کم و به سن پلیوسن-کواترنری (واحد PLQ^C)، واحدهای M₁ (مارن، شیل، ژیپس و نمک به رنگ بنفش-قرمز) و M₂ (ماسه‌سنگ-شیل، ماسه‌سنگ کنگلومراخی) با سن میوسن را پوشانده‌اند. جوان‌ترین واحدهای منطقه، رسوب‌های بادبزنی آبرفتی کهمن و جوان با سن کواترنری هستند. توف‌های سبز رنگ اوسن سازند کرج از سنگ‌های زرین‌دشت هستند. اگرچه سازند کرج یادآور توف‌های سبز البرز جنوبی است، سازند کرج در برش الگو و همچنین، در رخمنون‌های دیگر، ترکیب سنگ‌شناسی همگنی ندارد؛ از این‌رو، در برش الگو، با ۳۳۰۰ متر ستبر، به ۵ عضو

شده است. این گزارش و بررسی‌ها (Velayati, 1990؛ انتشارات جهاد دانشگاهی، دانشگاه تهران) به زئولیت در این منطقه نیز پرداخته‌اند. Pourmoghaddam (۲۰۱۳) نیز درباره زئولیت توف‌های زرین‌دشت بررسی‌های جامعی داشته است. ایشان از سنتز زئولیت کلینوپتیلولیت این منطقه چهار نوع زئولیت مولینویت، آنالسیم، کانکرینایت و ناترولیت به دست آورده است. برپایه بررسی‌های Abniki (۲۰۱۱) روی بخش معدنی زرین‌دشت، کیفیت زئولیت‌های این مناطق با زئولیت‌های بخش‌های دیگر (مانند: زئولیت افتر سمنان و زئولیت میانه آذربایجان خاوری) مقایسه شده است. از مهم‌ترین یافته‌های این بررسی بوده است که اگرچه در بررسی‌های پیشین، میزان سدیم در زئولیت دماوند کمتر از مناطق زئولیتی دیگر به دست آمده است (به‌گفته دیگر، زئولیت این منطقه شیرین است)، داده‌های به دست آمده از تجزیه XRF، نشان می‌دهند زئولیت دماوند شیرین نیست و سدیم آن دو منطقه زئولیتی دیگر بالاتر است. همچنین، فراوان‌ترین زئولیت منطقه کلینوپتیلولیت و هیولاندیت دانسته شده است. بررسی‌های دورسنجی در شناسایی گسل، مناطق دگرسانی و شناسایی سنگ‌ها، بنیان کار ایشان بود.

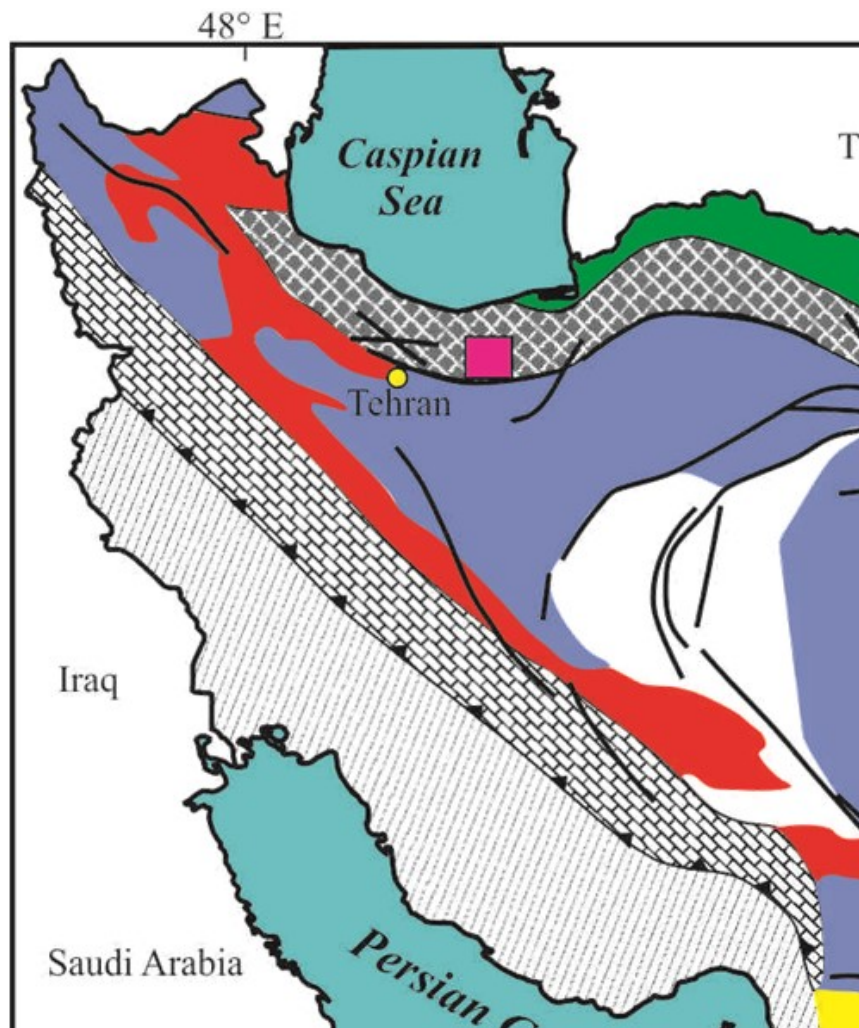
زمین‌شناسی عمومی

منطقه معدنی زرین‌دشت در ۴۰ کیلومتری جنوب‌باختری شهرستان فیروزکوه، در محدوده ورقه ۱:۱۰۰۰۰ (Firuzkoh, in press)، میان طول‌های جغرافیایی ۵۲°۳۱'۵۸" تا ۵۲°۳۶'۰۶" خاوری و عرض‌های جغرافیایی ۳۵°۳۲'۴۳" تا ۳۵°۳۰'۳۳" شمالی، جای دارد. برپایه رده‌بندی Stöcklin (۱۹۷۲)، این

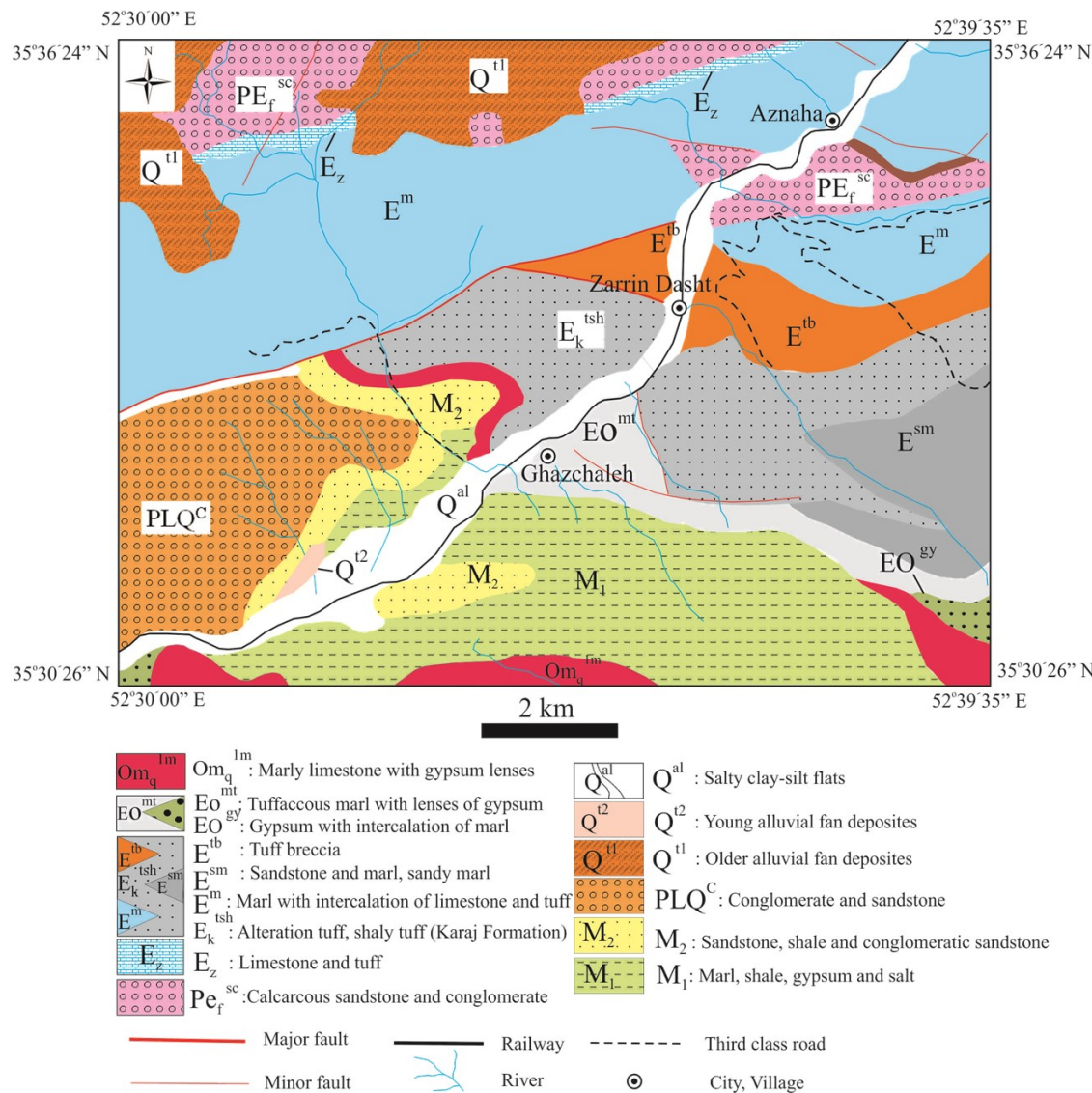
کمژرفا روی توفهای سبز کرج برای پیدایش زئولیت است (Velayati, 1990).

هر سه عنصر ساختمانی چین‌ها، درزه‌ها و گسل‌ها در منطقه زرین‌دشت و بخش‌های پیرامون آن دیده می‌شوند. هر سه نوع درزه طولی، عرضی و برشی روی لایه‌ها دیده می‌شوند. در میان آنها، درزه‌های برشی فراوانی بیشتری دارند و فراوانی درزه‌های عرضی و طولی پس از آنهاست (Pourmoghaddam, 2013).

رده‌بندی شده است. سنگشناسی منطقه زرین‌دشت همانند «بخش توف بالایی» است. زئولیتها در بخش‌های بالایی سازند کرج گسترش دارند. افق زئولیتی گاه با تناوب شیل و ماسه‌سنگ و گاه مارن سبز تا خاکستر توفی سازند کرج یک‌درمیان دیده می‌شود و سمت‌برای آن از ۳ تا ۲۰۰ متر است. لایه‌های آهکی کمژرفا (مانند: آهک ماسه‌ای سازند قم) روی افق زئولیت جای گرفته‌اند. این پدیده نشان‌دهنده پهنه دریایی



شکل ۱- واحدهای ساختاری ایران و جایگاه منطقه زرین‌دشت در پهنه البرز، برگرفته از Stöcklin (۱۹۷۲)، با تغییراتی پس از Shahabpour (۱۹۹۴)



شکل ۲- نقشه زمین‌شناسی زرین‌دشت، برگرفته از نقشه ۱:۱۰۰۰۰۰ فیروزکوه (Salamati, in press)

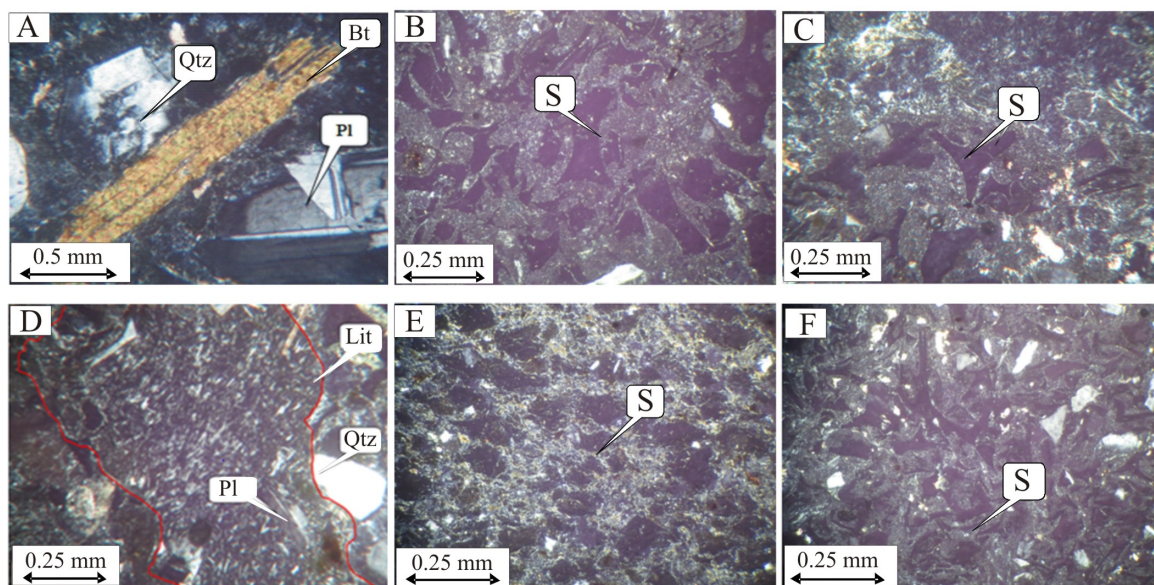
نمونه سنگی که بی‌لیتیک بودند برگزیده و در آزمایشگاه Actlabs کانادا با روش‌های ICP-XRF و MS تجزیه شدند. داده‌های زمین‌شیمیایی به دست آمده با نرم‌افزارهای GCDKit و Igpet بررسی و سپس تحلیل شدند. شمار ۱۴ نمونه سنگی برگزیده نیز به آزمایشگاه وین‌گستر تهران برای انجام تجزیه XRD فرستاده شد. داده‌های به دست آمده با روش هاناوالت بررسی و تحلیل شدند.

روش انجام پژوهش
برای بررسی سنگ‌نگاری و سنگ‌شناسی سنگ‌های آذرآواری منطقه زرین‌دشت، برپایه بررسی‌های صحراوی، شمار ۵۰ نمونه سنگی از توف‌های سازند کرج در باختر روستای زرین‌دشت و در بخش معدنی این روستا برداشت شد. از میان این نمونه‌ها، ۳۰ مقطع نازک تهیه و پس از بررسی‌های دقیق سنگ‌نگاری و عکس‌برداری از آنها، شمار ۱۰

بحث سنگنگاری

میکروسکوپی (شکل‌های ۳ و ۴) و داده‌های XRD (شکل ۵)، کانی‌های اصلی این سنگ‌ها پلازیوکلار، کوارتر، آکالی‌فلدسپارها و بیوتیت و کانی‌های ثانویه آنها، آنالسیم، کلینوپیتیولیت، هیولاندیت، کلسیت کلریت و کانی‌های رسی هستند. کانی‌های کدر از کانی‌های فرعی این سنگ‌ها هستند. شکستگی‌ها و حفره‌های درون بخش‌های معدنی با کانی‌هایی مانند رئولیت، کلینوپیتیولیت و رئولیت‌های اسفروولیتی پر شده‌اند.

سنگ‌های آذرآواری این منطقه دانه‌هایی به اندازه کوچک‌تر از ۲ میلی‌متر دارد و برپایه رده‌بندی Fisher (۱۹۶۶)، توف نامیده می‌شوند. برپایه نمودار Schmid (۱۹۸۱)، این توف‌ها در محدوده کریستال توف و ویتریک توف جای می‌گیرند. بافت بیشتر این توف‌ها ویتروفیری است (شکل ۳). بر پایه بررسی‌های سنگنگاری و



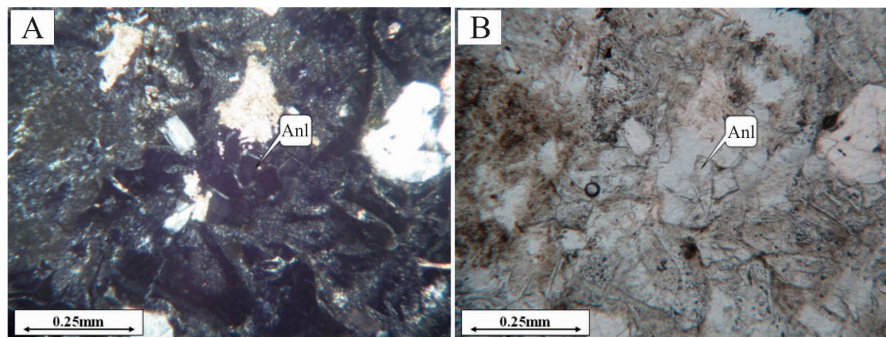
شکل ۳- تصویرهای میکروسکوپی از توف‌های زرین دشت (فیروزکوه، پهنه البرز مرکزی)؛ (A) بافت ویتروفیری (Qtz، Bt و Pl)، به ترتیب بلورهای کوارتر، بیوتیت و پلازیوکلار هستند؛ (B) بافت ویتریک با شارد جناغی؛ (C) تصویری از حضور شارد Y شکل در ویتریک توف؛ (D) Qtz و Pl، به ترتیب لیتیک، کوارتر و پلازیوکلار هستند؛ (E) شاردهای شیشه‌ای صفحه‌ای در زمینه سنگ؛ (F) شاردهای شیشه‌ای هالی در زمینه سنگ (نماد اختصاری کانی‌ها از Kretz ۱۹۸۳) برگرفته شده است)

یک سطح خمیده (که بخشی از دیواره حفره ترکیده است) دارند، از مآgmای حبابداری که با آب بیرونی برهمنش داشته پدید آمده‌اند. شاردهای قالبدار یا دارای ساختمان تکه‌ای (Blocky Shards)، با سطوح کج و کم حفره، فراوان‌ترین شاردها در خاکسترها و هیدرو-ولکانیک اسیدی و بازیک هستند (Wohletz, 1983). سازند کرج با سن اوسن دارای کمپلکس‌های آذرآواری و آتشفشنایی زیردریایی است (Iwao and

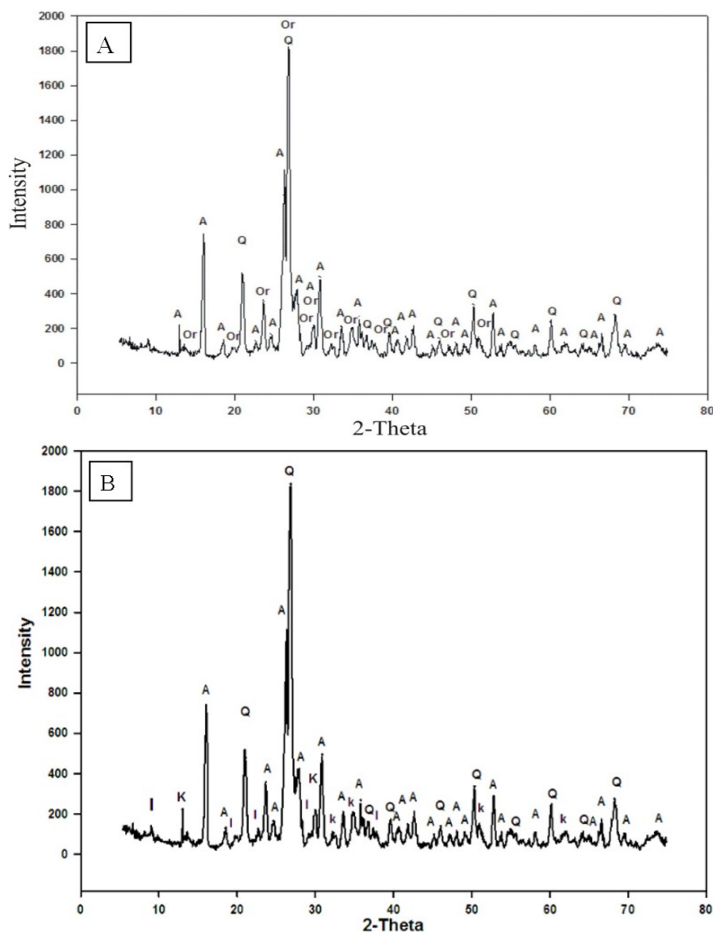
سیال‌های گرمابی در شکاف و گسل‌ها چرخه طولانی را می‌گذرانند. دریاهای کمژرفا خاستگاهی برای این سیال‌ها بهشمار می‌روند. گرمای ژئوتمال منطقه نیز نقش شسختشو و انحلال مواد و در پایان، رسوب‌گذاری کانی‌های رئولیتی (در pH خنثی تا اسیدی) در آن را داشته است. شکلهای گوناگون شاردهای شیشه‌ای (مانند: Y شکل، داسی و صفحه‌ای) در این سنگ‌ها دیده می‌شوند (شکل ۳). شاردهای صفحه‌مانند یا داسی‌شکل که دست‌کم

بیشتر از ۱۰ شود، آنالسیم در دمای 100°C نیز پدید می‌آید (Kim and Burley, 1971). آنالسیم در زمینه توف‌های سازند کرج به صورت پراکنده، تجمعی و سالم دیده می‌شود (شکل ۴).

(Hushmand-Zadeh, 1971) آنالسیم با شکل‌های تیپیک چندگوش دیده می‌شوند. این کانی در دمای نزدیک به 200°C و در فشار آب ۲ تا ۵ کیلوبار متبلور می‌شود. برای پیدایش آنالسیم ۸ است؛ اما اگر pH



شکل ۴- تصویرهای میکروسکوپی از توف‌های میزبان کانی‌های زئولیتی (زرین‌دشت، پهنه البرز مرکزی): (A) تصویر PPL (B) تصویر XPL (Anl: آنالسیم)



شکل ۵- الگوهای XRD برای نمونه‌های توف آنسن در معدن زرین‌دشت (فیروزکوه، پهنه البرز مرکزی): (A) کانی‌های به دست آمده در تجزیه XRD برای نمونه شماره 33A (آنالسیم؛ Or: ارتوکلаз؛ Q: کوارتز؛ I: ایلیت؛ K: کائولینیت) (B) کانی‌های به دست آمده در تجزیه XRD برای نمونه شماره 2A

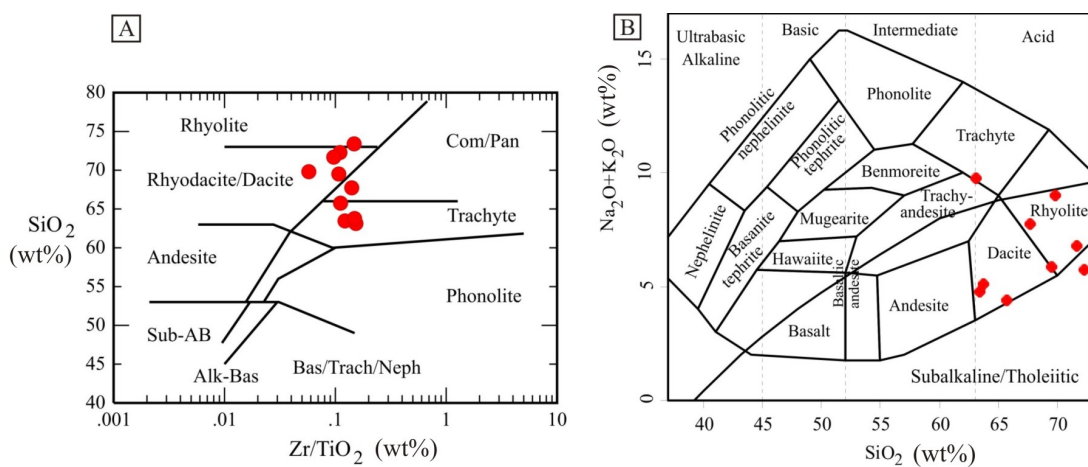
پیشنهادی Floyd و Winchester (۱۹۷۷)، ترکیب شیمیایی نمونه‌ها تراکیت، ریوداسیت/داسیت و ریولیت/داسیت است (شکل ۶-۶). همچنین، برپایه نمودار پیشنهادی Cox و همکاران (۱۹۷۹)، توف‌های زرین دشت در گستره سنگ‌های ریولیتی، تراکیتی و داسیتی جای می‌گیرند (شکل ۶-۶-B).

زمین‌شیمی

داده‌های تجزیه زمین‌شیمیایی عنصرهای اصلی و کمیاب برای سنگ‌های آذرآواری منطقه زرین دشت در جدول ۱ آورده شده است. با بهره‌گیری از این داده‌های زمین‌شیمیایی، خاستگاه و سنگ‌زایی (پتروژنز) نمونه‌های سنگی شناخته می‌شوند. برپایه نمودار

جدول ۱- داده‌های تجزیه زمین‌شیمیایی عنصرهای اصلی (به روش XRF؛ برپایه درصد وزنی)، عنصرهای کمیاب و خاکی کمیاب (به روش ICP-MS؛ برپایه ppm) برای نمونه‌های سنگی منطقه زرین دشت (فیروزکوه، پهنه البرز مرکزی)

Sample No.	Z1B	Z12A	Z1C	Z16A	Z10A	Z29A	Z2A	Z24A	Z30A	Z39A
SiO ₂	63.13	63.46	63.77	65.75	67.72	69.51	69.81	71.68	72.27	73.39
TiO ₂	0.41	0.34	0.34	0.35	0.14	0.27	0.24	0.25	0.35	0.29
Al ₂ O ₃	16.39	11.49	11.45	11.68	12.31	10.99	13.58	12.14	11.25	12.67
Fe ₂ O ₃ (T)	2.91	1.20	0.87	1.09	1.08	2.01	1.28	0.99	2.02	1.37
MnO	0.01	0.03	0.04	< 0.01	0.02	0.06	0.02	0.02	0.07	0.02
MgO	1.05	1.01	0.87	0.86	0.51	0.77	0.61	0.55	1.08	1.04
CaO	0.29	3.12	2.98	1.39	0.88	2.83	0.84	1.70	0.83	0.73
Na ₂ O	3.41	3.68	3.63	3.56	3.05	3.01	3.56	4.68	3.56	1.48
K ₂ O	6.33	1.08	1.47	0.84	4.68	2.83	5.43	2.09	2.19	6.18
P ₂ O ₅	0.08	0.05	0.05	0.05	0.06	0.05	0.07	0.04	0.06	0.07
LOI	5.22	14.57	14.24	13.66	9.54	6.22	3.85	5.68	5.5	3.51
Total	99.24	100	99.69	99.24	99.98	98.55	99.3	99.8	99.16	100.7
V	18	12	9	10	8	22	33	17	28	16
Ni	2	1	1	1	< 1	3	3	2	4	5
Co	3	2	2	11	7	5	10	7	5	7
Cu	16	27	18	31	20	32	37	35	24	57
Zn	88	42	45	10	74	75	19	27	73	176
W	22	9	7	174	20	28	56	64	42	62
Rb	210	< 20	100	< 20	80	100	< 20	< 20	100	160
Ba	247	85	595	56	102	1860	361	116	813	1020
Sr	43	859	1574	872	1341	142	72	79	66	70
Be	3	2	2	2	3	2	1	1	1	2
Y	38	38	44	38	24	39	24	21	26	34
Zr	377	249	304	234	118	174	83	145	231	257
Cs	25.4	5.1	6.8	10.3	4	16	13.4	27.6	18	3.1
Hf	9.1	6.8	6	< 0.5	2.5	4.9	< 0.5	< 0.5	5.7	7
Ta	< 1	< 1	< 1	< 1	< 1	< 1	< 1	< 1	< 1	< 1
Th	20	8.6	8.4	8.2	12	9.3	8.7	12.9	9	13.8
U	5.9	3	2.5	4.4	3.5	4.8	3	5.3	2.1	4.8
Pb	6	8	< 5	< 5	< 5	21	< 5	< 5	10	109
La	44.7	26.7	27.4	25.2	26.1	27.4	19.3	25.8	24.8	30.3
Ce	81	48	45	47	36	42	31	42	37	55
Nd	27	22	25	14	16	20	8	16	14	17
Sm	6.1	4.6	4.4	4	2.3	3.8	1.9	2.5	3.1	4.5
Eu	0.8	0.5	0.7	0.4	< 0.1	0.4	0.2	0.6	0.4	0.4
Yb	4	3.3	3.3	3.7	1.4	3.2	1.4	2	3	3.5
Lu	0.54	0.48	0.46	0.42	0.26	0.41	0.21	0.26	0.34	0.46



شکل ۶- جایگاه نمونه‌های زرین‌دشت (فیروزکوه، پهنه البرز مرکزی) در نمودارهای رده‌بندی سنگ‌های آذرین. (A) نمودار SiO_2 در برابر Zr/TiO_2 (Cox et al., 1979) SiO_2 در برابر $\text{Na}_2\text{O}+\text{K}_2\text{O}$ ؛ (B) (Winchester and Floyd, 1977) SiO_2 در برابر $\text{Na}_2\text{O}+\text{K}_2\text{O}$ (Baragar and Irvine, 1971)

(Piccoli, 1989) است، برای شناسایی گروه‌های شاخص درجه اشباع‌شدگی از آلومینیم بهره برده می‌شود. در این نمودار نسبت A/NK/A برای همه نمونه‌ها بیشتر از ۱ بوده و نمونه‌ها در گستره متألومین تا پرآلومین جای می‌گیرند (شکل ۸). گفتنی است که جایگیری نمونه‌ها در بخش پرآلومین علت‌های گوناگونی دارد. در حقیقت، عواملی مانند جداش (تفريق) گسترده کانی‌های پلاژیوکلاز، هورنبلند و بیوتیت از ماجمای کالک‌آلکالن، آلایش یک نمونه با سنگ در برگیرنده سرشار از آلومینیم (مانند: ترکیب‌های پلیتی، دگرسانی سریسیتی یا پروپیلیتی و ...)، مذابی با ویژگی متألومین را به‌سوی پرآلومین سوق می‌دهند (Collins, 1988)؛ هرچند زئولیت‌زایی در توف‌های منطقه زرین‌دشت نیز چه‌بسا در گرایش این سنگ‌ها به‌سوی سرشت پرآلومین نقش دارد.

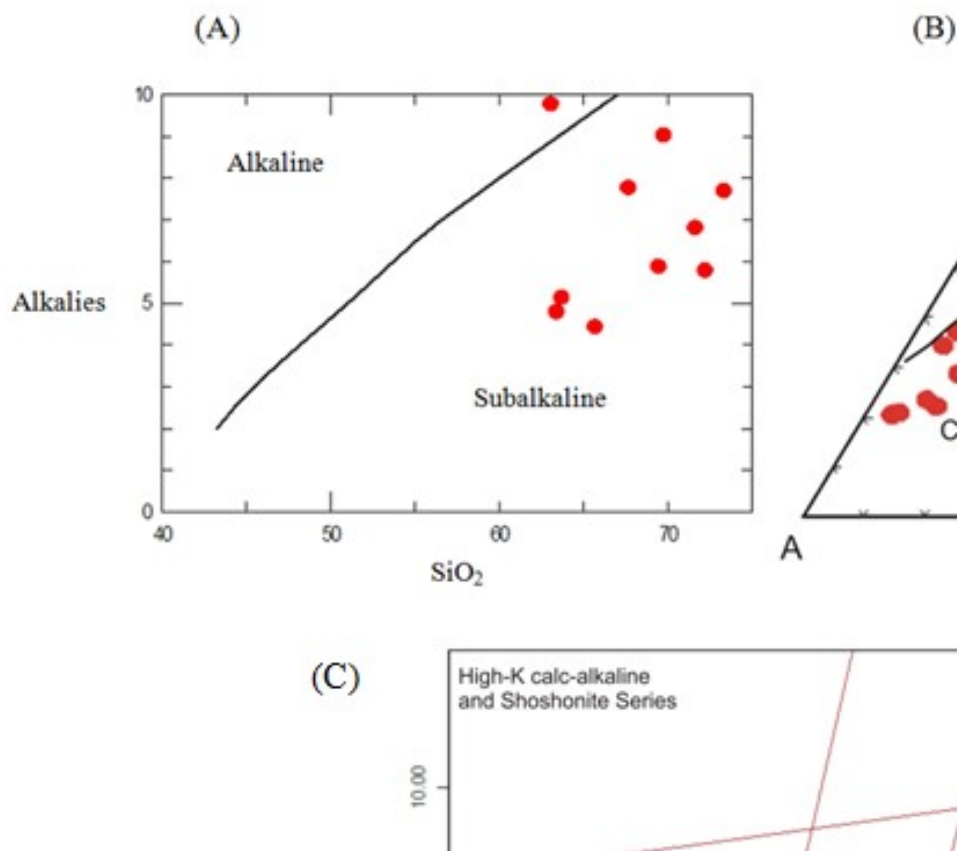
در نمودار عنکبوتی بهنجارشده به ترکیب‌های گوشه‌ای اولیه، مورب و کندریت (شکل ۹)، تهی‌شدگی در عنصرهای Sr, P, Ti و آنومالی‌های بسیار منفی Eu نشان‌دهنده جداش آپاتیت، مگنتیت \pm تیتانیت و پلاژیوکلاز پیش از فوران است. روند MREE به‌سوی

در نمودار پیشنهادی Baragar و Irvine (۱۹۷۱) درصد وزنی مجموع آلکالی ($\text{Na}_2\text{O}+\text{K}_2\text{O}$) در برابر سیلیس (SiO_2) نشان داده می‌شود و برای شناسایی سنگ‌های ساب‌آلکالن و آلکالن به کار برده می‌شود (شکل ۷- A). برپایه نمودار یادشده، بیشتر سنگ‌های منطقه زرین‌دشت در گستره ساب‌آلکالن‌ها هستند. همچنین، روی نمودار سه‌تایی پیشنهادی Irvine و Baragar (۱۹۷۱)، نمونه‌ها روند و سرشت کالک‌آلکالن نشان می‌دهند (شکل ۷- B).

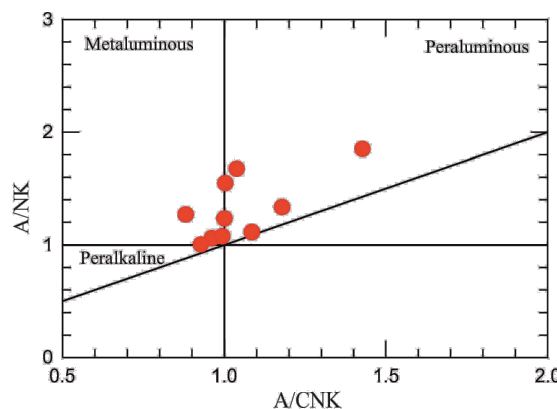
نمودار Hastie و همکاران (۲۰۰۷) در شناسایی سری ماجمایی به کار برده می‌شود. در این نمودار از فراوانی عنصرهای Co و Th برای شناسایی سری ماجمایی بهره گرفته می‌شود. با به کار گیری این نمودار، سری‌های شوشونیتی، کالک‌آلکالن و توله‌ایتی از یکدیگر شناخته می‌شوند. برپایه این نمودار، بیشتر نمونه‌های آذرآواری منطقه زرین‌دشت در گستره کالک‌آلکالن پتاسیم بالا و شوشونیتی جای می‌گیرند (شکل ۷- C). از نمودار A/CNK در برابر A/NK/A که برپایه نسبت‌های ملکولی $\text{Al}_2\text{O}_3/\text{CaO}+\text{Na}_2\text{O}+\text{K}_2\text{O}$ در برابر Shand, 1943; Maniar and (Al₂O₃/Na₂O+K₂O

کمتر سازگار است؛ از این‌رو، جدایش پلازیوکلاز را نشان می‌دهد (Moore and Carmichael, 1998).

HREE، شیب ملایم دارد که نشان می‌دهد جدایش آمفیبول اهمیت کمتری داشته و با مقدار آب ماقمایی



شکل ۷- جایگاه نمونه‌های زرین‌دشت (فیروزکوه، پهنه البرز مرکزی) در نمودارهای شناسایی سری ماقمایی. (A) نمودار $\text{Na}_2\text{O}+\text{K}_2\text{O}$ برابر SiO_2 (Irvine and Barragar, 1971) AFM; (B) نمودار Th برابر SiO_2 (Irvine and Barragar, 1971) AFM; (C) نمودار $\text{Na}_2\text{O}+\text{K}_2\text{O}$ برابر $\text{CaO}+\text{MgO}$ (Hastie et al., 2007) High-K calc-alkaline and Shoshonite Series

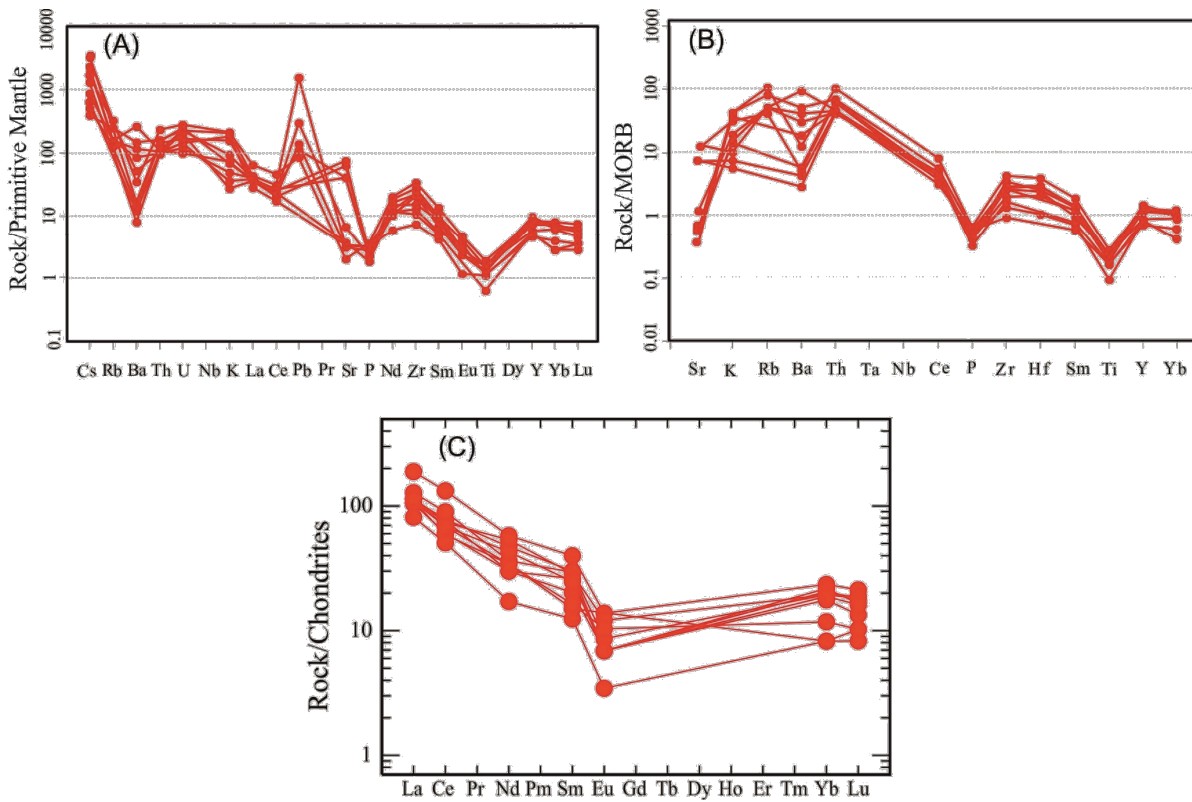


شکل ۸- نمونه‌های زرین‌دشت (فیروزکوه، پهنه البرز مرکزی) در نمودار A/CNK برابر A/NK (Shand, 1943) A/CNK/A/NK

آنومالی منفی Ba باشد، پیامد جدایش پتاسیم‌فلدسبار بوده است. برپایه آنچه گفته شد، در نمونه‌های منطقه زرین‌دشت جدایش همزمان پلازیوکلаз و پتاسیم‌فلدسبار عامل مهمی در تحول مagmaی بهشمار می‌رود. Barnes و همکاران (۲۰۰۱) نیز بر این باورند که در هنگام تبلور magma، جدایش پلازیوکلاز، کاهش Sr و افزایش آنومالی Eu را به دنبال دارد.

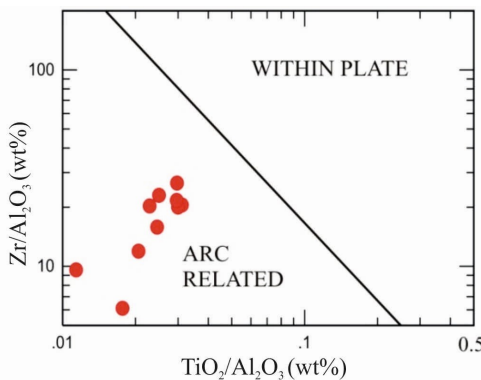
روندهای تغییرات از Ta تا Yb در نمودارهای بهنجارشده به ترکیب مورب (شکل ۹-۹) بسیار همانند الگوهای پیشنهادشده Pearce (۱۹۸۳) برای پهنه‌های حاشیه‌فعال است (روندهای ناهموار که تغییراتی را نشان می‌دهد).

عنصرهای Ba (در پی جانشینی باریم با پتاسیم در ارتوکلаз و بیوتیت) و P (به دنبال پیدایش آپاتیت) با جدایش این کانی‌ها آنومالی منفی پیدا کرده‌اند. نمونه‌های منطقه زرین‌دشت دارای آنومالی Eu هستند. آنومالی Eu به پلازیوکلاز و فوگاسیتیه اکسیژن بستگی دارد؛ از این‌رو، آنومالی منفی در مذاب پیامد خارج شدن فلدسبارها در پی جدایش بلوری در شرایط فوگاسیتیه کم اکسیژن است (Wilson, 1989). برپایه پیشنهاد Wu و همکاران (۲۰۰۳)، آنومالی منفی Eu اگر با آنومالی منفی Sr همراه باشد، پیامد جدایش پلازیوکلاز بوده و اگر همراه با



شکل ۹- نمونه‌های منطقه زرین‌دشت (فیروزکوه، پهنه البرز مرکزی) در: (A) نمودار عنکبوتی چندعنصری بهنجارشده به ترکیب گوشه اولیه (Sun and McDonough, 1989); (B) نمودار عنکبوتی بهنجارشده به ترکیب مورب (Pearce, 1983); (C) نمودار عنکبوتی بهنجارشده عنصرهای خاکی نادر به ترکیب کندریت (Sun and McDonough, 1989).

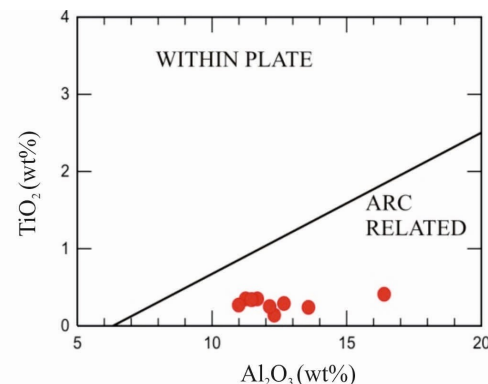
سری‌های کالک آلکالن است (Gill, 1981; Hawkesworth *et al.*, 1991; Castillo *et al.*, 2007). برای شناسایی پهنه زمین‌ساختی نمونه‌های منطقه زرین دشت از نمودارهای گوناگونی بهره گرفته شد. Muller و همکاران (۱۹۹۲) با بهره‌گیری از عنصرهای اصلی و کمیاب، نمودارهایی را برای شناسایی پهنه‌های زمین‌ساختی پیشنهاد کردند. برایه نمودارهای شکل ۱۰، نمونه‌های منطقه زرین دشت در گستره واپسته به کمان جای می‌گیرند و نشان‌دهنده پیدایش سنگ‌های یادشده در پهنه مرتبط با فروراش هستند.



(Muller *et al.*, 1992) شکل ۱۰- نمودارهای شناسایی پهنه زمین‌ساختی و جایگاه نمونه‌های منطقه زرین دشت (فیروزکوه، پهنه البرز مرکزی)

پهنه I است. در پهنه II، در پی واکنش سیلیس با آب درون سازندی، زئولیت‌های آلکالی کلینوپیتیولیت و موردنیت، اوپال-CT و مونتموریلونیت پدید می‌آیند. این زئولیت‌های آلکالی در پهنه III، آن جایی که دو زیرپهنه شناخته شده، با آنالسیم جایگزین شده‌اند. دو زیرپهنه III عبارتند از: زیرپهنه IIIa که کلینوپیتیولیت اندکی با هیولاندیت جایگزین می‌شود و زیرپهنه IIIb که هیولاندیت با لامونیت جایگزین شده است. در پهنه IV، آنالسیم با آلبیت جایگزین شده و این پهنه مربوط به گرگونی درجه ضعیف است.

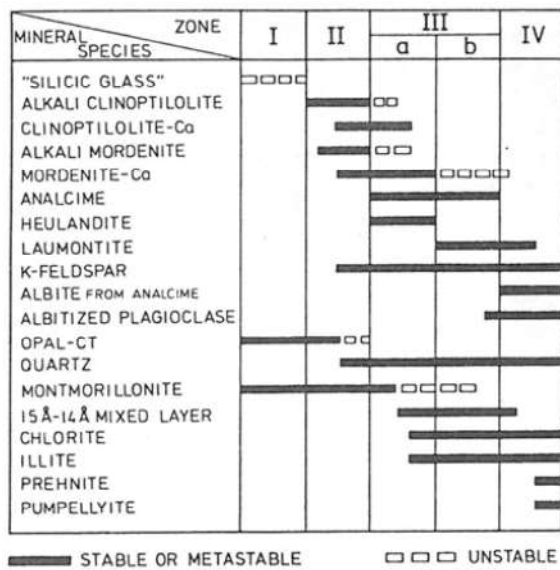
ماگمای پدیدآمده در پهنه‌های فروراش، آنومالی منفی شاخص از عنصرهای HFSE دارد؛ زیرا این عنصرها در فازهای دیرگداز سنگ‌های دگرگونی پوسته فرورونده به جای می‌مانند و در مذاب پدید آمده وارد نمی‌شوند. غنی‌شدگی از عنصرهای LILE و تهی‌شدگی از عنصرهای HFSE ارتباط نزدیکی با پدیده فروراش دارد (شکل ۹). تهی‌شدگی از عنصرهای با شدت میدان بالا یا HFSE (مانند: Ti, Ta و Nb) و فراوانی LFSE بالای عنصرهای با شدت میدان کم یا (مانند: Ce, Th, K, Rb) از ویژگی‌های آشکار سنگ‌ها در کمان‌های آتشفسنایی و



شکل ۱۰- نمودارهای شناسایی پهنه زمین‌ساختی و جایگاه نمونه‌های منطقه زرین دشت (فیروزکوه، پهنه البرز مرکزی)

دیاژنر تدفینی- دگرگونی درجه ضعیف دیاژنر تدفینی که در سری‌های آذرآواری ستبر ژاپن بررسی شده است، از چهار پهنه ساخته شده است (Iijima, 1978). هر کدام از این پهنه‌ها بیشتر از اجتماع‌های کانی‌های سری‌های واکنشی شیشه سیلیسی- زئولیت‌های آلکالی-آلبیت ساخته شده‌اند و معرف آب‌زدایی با افزایش عمق هستند (شکل ۱۱).

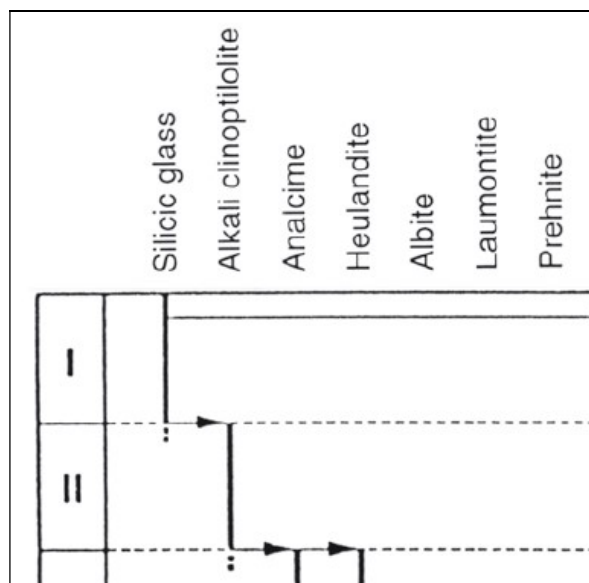
شیشه سیلیسی که اندکی به مونتموریلونیت و اوپال-A و یا اوپال-CT دگرسان شده، از ویژگی‌های



شکل ۱۱- پهنه‌های زئولیت‌های اتوژنیک و دیگر سیلیکات‌هایی که در هنگام دیاژن تدفینی در یک مقطع ستربر از ولکانوکلاستیک‌های سیلیسی دریابی دیده می‌شوند. پهنه IV در رژیم دگرگونی رده‌بندی می‌شود (Iijima, 1978)

برخی از این توالی‌های پهنه‌ای در گمانه‌های ژرف بررسی شده‌اند (Iijima and Ogihara, 1995). در این گمانه‌ها، انتقال میان پهنه‌ها در فاصله‌های دمایی روی می‌دهد. از این‌رو، مرز میان پهنه‌های II و III، در ژرفای ۱۷۰۰ تا ۳۵۰۰ متر و مرز میان پهنه‌های III و IV، در ژرفای ۲۵۰۰ تا ۴۵۰۰ متری است. در شکل ۱۲ دیده می‌شود که تبدیل پهنه‌ها در ستربرای ۱۰۰-۷۰۰ متر و در فاصله‌های دمایی مشخصی به صورت زیر روی می‌دهد:

- گستره دمایی در مرز پهنه‌های II و I برابر $41 - 50^{\circ}\text{C}$ است؛ بوده و میانگین آن 44°C
- گستره دمایی در مرز پهنه‌های III و II برابر $80 - 91^{\circ}\text{C}$ است؛ بوده و میانگین آن 84°C
- گستره دمایی در مرز میان پهنه‌های IV و III برابر $122 - 124^{\circ}\text{C}$ است. بوده و میانگین آن 123°C



شکل ۱۲- پهنه‌بندی کانی‌های سیلیکات‌های زئولیت پدیدآمده هنگام دیاژن تدفینی توف‌های سیلیسی در سکانس‌های ستربر دریابی (Iijima and Ogihara, 1995)

تدفینی I و II و III شناسایی می‌شوند. در مرحله I و در دمای کمتر از 44°C درجه سانتیگراد، شیشه سیلیسی

با توجه به شکل ۱۱ و برپایه کانی‌های دیده شده در توف‌های منطقه زرین‌دشت، پهنه‌های دیاژن

بررسی سنگنگاری نشان دهنده کانی‌های کوارتز، پلازیوکلاز، آکالی‌فلدسپار، کلسیت، کلریت، بیوتیت، زئولیت، کانی‌های آهن‌دار و رسی در سنگ‌های منطقه است. برپایه داده‌های زمین‌شیمیایی، سنگ‌های آتشفشاری منطقه زرین‌دشت سرشت کالک‌آلکالن دارند و متا‌آلومین تا پرآلومین هستند. کاربرد نمودارهای شناسایی پهنه زمین‌ساختی مانند اینکه از عنصرهای LILE و تهی‌شدگی از عنصرهای HFSE نشان دهنده پیدایش سنگ‌های منطقه زرین‌دشت در پهنه مرتبط با فرورانش در حاشیه فعال قاره‌ای هستند.

با اینکه کانی‌های کوارتز ثانویه، ایلیت، آنالسیم، مونتموریلونیت و کلریت در سنگ‌های منطقه زرین‌دشت دیده می‌شوند؛ اما نبود کانی‌های شاخص لامونیت و آلبیت نشان دهنده پیشرفت این فرایندها در مرز دیاژنز تدفینی-دگرگونی در گستره دمایی $123-84^{\circ}\text{C}$ است.

اندکی به مونتموریلونیت دگرسان شده است. با اینکه کانی‌های کوارتز ثانویه، ایلیت، آنالسیم، کلریت در سنگ‌های منطقه زرین‌دشت دیده می‌شوند، نبود کانی‌های شاخص لامونیت و آلبیت نشان می‌دهد پیشرفت این فرایندها در مرز دیاژنز تدفینی-دگرگونی در گستره دمایی $123-84^{\circ}\text{C}$ بوده است.

بررسی‌های انجام‌شده روی مواد آتشفشاری با ختر کمرنگ هیمالیا (البر) نیز نشان داده‌اند کانی‌های پهنه دیاژنز تدفینی و دگرگونی کم‌دما از بالا به پایین: آنالسیم \leftarrow آلبیت \leftarrow پرہنیت-اپیدوت-آلبیت هستند (Iwao and Hushmand-Zadeh, 1971) درستی یافته‌های به دست‌آمده در این پژوهش را نشان می‌دهد. همچنین، برپایه بررسی‌های انجام‌شده روی توف‌های ریولیتی ناحیه Trboviste اسلواکی، تبلور کانی‌های کلینوپیتیولیت، موردنیت و آنالسیم پیامد دیاژنز تدفینی-دگرگونی درجه ضعیف بوده است (Reed *et al.*, 1993a, b).

سپاس‌گزاری

از تلاش‌های جناب آقای دکتر سلمان ولایتی و آقای جواد مهریویا برای همکاری در بازدیدهای صحرایی سپاس‌گزاری می‌شود.

نتیجه‌گیری

در منطقه زرین‌دشت، ویتریک‌توف با ترکیب‌های ریولیت، ریوداسیت، داسیت و تراکیت از سنگ‌های آذرآواری در سازند کرج هستند.

منابع

- Aghanabati, A. (2004) Geology of Iran. Geological survey of Iran, Tehran (in Persian).
- Abniki, M. (2011) Study of Damavand area zeolites according to its applications in industry and agriculture and also its structure changes study by scanning electron microscopy. M.Sc. thesis, Islamic Azad University Tehran South Branch, Tehran (in Persian).
- Barnes, C. G., Burton, B. R., Burling, T. C., Wright, J. E., and Karlsson, H. R. (2001) Petrology and geochemistry of the late Eocene Harrison Pass pluton, Ruby mountains Core Complex, Northeastern Nevada. Journal of Petrology 42: 901-929.
- Berberian, M. and King, G. C. P. (1981) Towards a paleogeography and tectonic evolution of Iran. Canadian Journal of Earth Science 18: 210-256.

- Castillo, P. R., Rigby, S. J. and Solidum, R. U. (2007) Origin of high field strength element enrichment in volcanic arcs: geochemical evidence from the Sulu Arc, Southern Philippines. *Lithos* 97(3-4): 271-288.
- Collins, L. G. (1988) Hydrothermal differentiation and myrmekite- A clue to many geologic puzzles. Theophrastus Publications S. A., Athens.
- Cox, K. G., Bell, J. D. and Pankhurst, R. J. (1979) The interpretation of igneous rocks. George Allen & Unwin.
- Fisher, R. V. (1966) Rock composed of volcanic fragments and their classification. *Earth Science Reviews* 1: 287-98.
- Gill, J. B. (1981) Orogenic Andesites and Plate Tectonics. Springer-Verlag, Berlin.
- Hastie, A. R., Kerr, A. C., Pearce, J. A. and Mitchell, S. F. (2007) Classification of altered volcanic island arc rocks using immobile trace elements: Development of the Th-Co discrimination diagram. *Journal of Petrology* 48: 2341-2357.
- Hawkesworth, C. J., Herdt, J. M., Ellam, R. M. and McDermott, F. (1991) Element fluxes associated with subduction related magmatism. *Philosophical Transactions of the Royal Society of London* 335: 393-405.
- Iijima, A. (1978) Geological occurrences of zeolite in marine environments. In: *Natural zeolites* (Eds. Sand, L. B., Mumpton, F. A.) 175-198. Pergamon, Oxford.
- Iijima, A. and Ogihara, S. (1995) Temperature-time relationships of zeolitic reactions during burial diagenesis in marine sequences. In: *Natural Zeolites: Occurrence, Properties, Use.* (Eds. Ming, D. W. Mumpton, F. A.) 115-124. Brockport, New York.
- Irvine, T. N. and Baragar, W. R. (1971) A guide to the chemical classification of the common volcanic rocks. *Canadian Journal of Earth Sciences* 8: 523-546.
- Iwao, S. and Hushmand-Zadeh, A. (1971) Stratigraphy and petrology of the low-grade regionally metamorphosed rocks of the Eocene formation in the Alborz Range, north of Tehran, Iran. *The Journal of the Japanese Association of Mineralogists, Petrologists and Economic Geologists* 65: 265-285.
- Kretz, R. (1983) Symbols for rock-forming minerals. *American Mineralogist* 68: 277-279.
- Kim, K. T. and Burley, B. J. (1971) Phase equilibria in the system NaAlSi₃O₈-NaAlSiO₄-H₂O with special emphasis on the stability of analcrite. *Canadian Journal of Earth Sciences* 8(3): 311-338.
- Maniar, P. D. and Piccoli, P. M. (1989) Tectonic discrimination of granitoids. *Geological Society of America Bulletin* 101: 635-643.
- Moore, G. M. and Carmichael, I. S. E. (1998) The hydrous phase equilibria (to 3 kbar) of an andesite and basaltic andesite from western Mexico: Constraints on water content and conditions of phenocryst growth. *Contributions to Mineralogy and Petrology* 130: 304-319.
- Muller, D., Rock, N. M. S. and Groves, D. I. (1992) Geochemical discrimination between shoshonitic and potassic rocks, from different tectonic setting: a pilot study. *Mineralogy and Petrology* 46: 259-289.
- Pearce, J. A. (1983) Role of the sub-continental lithosphere in magma genesis at active continental margins. In: *Continental Basalts and Mantle Xenoliths* (Eds. Hawkesworth, C. J., Norry, M. J.) 230-249. Shiva Publications, Nantwich.
- Pourmoghaddam, M. (2013) Synthesis of zeolites, merlinoite minerals of Damavand's natural clinoptilolite zeolites mineral in hydrothermal conditions, under the influence of alkaline mediums. *Iranian Journal of Earth Sciences* 5: 21-24.

- Reed, J. K., Gipson, M. Jr. and Neese, D. G. (1993a) Hydrocarbon potential of sandstone reservoirs in the Neogene east Slovakian Basin, Part 1: A petrographic examination of lithology, porosity, and diagenesis. *Journal of Petroleum Geology* 16: 89-108.
- Reed, J. K., Gipson, M. Jr. and Vass, D. (1993b) Hydrocarbon potential of sandstone reservoirs in the Neogene east Slovakian Basin, Part 2: Zeolites and clay minerals. *Journal of Petroleum Geology* 16: 223-236.
- Salamati, M. R. (in press) Explanatory of text of Firoozkuh. Geological Quadrangle Map 1:100000, Geological Survey of Iran, Tehran.
- Schmid, R. (1981) Descriptive nomenclature and classification of pyroclastic deposits and fragments: recommendation of the IUGS Subcommission on the Systematics of Igneous Rocks. *Geology* 9: 3-41.
- Shahabpour, J. (1994) Post-mineralization breccia dike from the Sar-Cheshmeh Porphyry copper deposit, Kerman, Iran. *Exploration and Mining Geology* 3: 39-43.
- Shand, S. J. (1943) Eruptive rocks. Their genesis, composition, classification and their relation to depsts. Thomas Murby and Company, London.
- Stöcklin, J. (1972) Iran Central septentrional et oriental (en collaboration avec les géologues du Service Géologique de l'Iran). Lexique Stratigraphique International III, Fascicule 9b, Iran. Centre National de la Recherche Scientifique, Paris, pp. 1-283.
- Sun, S. S. and McDonough, W. F. (1989) Chemical and isotopic systematics of oceanic basalts: implications for mantle composition and processes. In: Magmatism in oceanic basins (Eds. Saunders, A. D. and Norry, M. J.) 42: 313-345. Geological Society, London, Special Publications.
- Velayati, S. (1990) Study of clay minerals in the tuffs of part of Central Alborz, The Publications (SID) of Tehran University (in Persian).
- Wilson, M. (1989) Igneous petrogenesis a global tectonic approach. Unwin Hyman Ltd., London.
- Winchester, J. A. and Floyd, P. A. (1977) Geochemical discrimination of different magma series and their differentiation products using immobile elements. *Chemical Geology* 20: 325-342.
- Wohletz, K. H. (1983) Mechanisms of hydrovolcanic pyroclast formation: grain- size, scanning electron microscopy, and experimental studies. 7. *Journal of Volcanology and Geothermal Research* 17: 31-63.
- Wu, F. Y., Jahn, B. M., Wilde, S. A., Lo, C-H., Yui, T-F., Lin, Q., Ge, W-C. and Sun, D-Y. (2003) Highly fractionated I-type granites in NE Chine (I). *Geochronology and petrogenesis. Lithos* 66: 241-273.